

LE FLAMBEMENT

1) Description du phénomène :

Un élément élancé, c'est à dire ayant une grande dimension par rapport à au moins une des deux autres, soumis à un effort de compression axial, peut se déplacer transversalement de façon importante sous de faibles charges.

On peut se rendre compte facilement de ce phénomène avec une lame de scie à métaux tenue verticalement et chargée avec la main appuyée en tête.

On constate qu'à partir d'une charge de l'ordre de 20 N (≈ 2 Kg), le déplacement latéral commence et que pour 25 N, on transforme la lame de scie en boucle en se faisant rejoindre les deux extrémités.

Ce phénomène d'instabilité est appelé *flambement* ou, quelquefois, *flambage*.

On distingue :

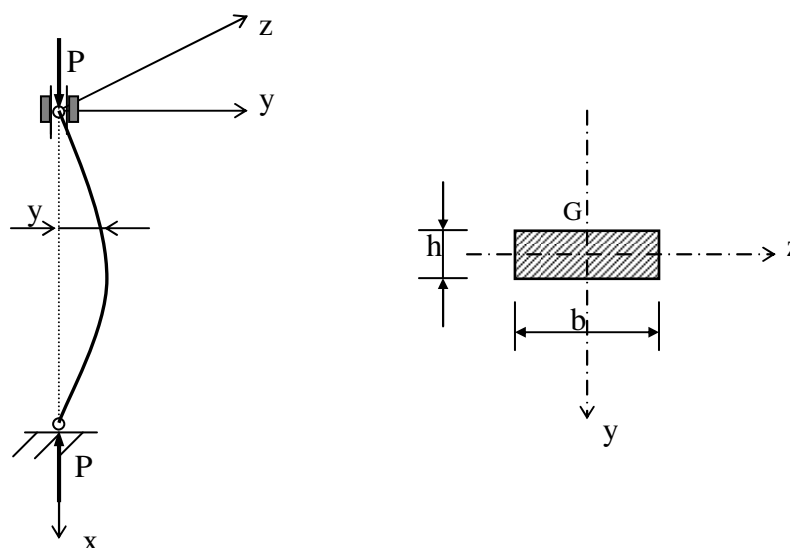
- le flambement simple qui affecte les barres simplement comprimées ;
- le flambement-flexion qui affecte les barres comprimées et fléchies.

2) Effort critique de flambement :

L'effort limite à partir duquel se manifeste les grandes déformations allant jusqu'à l'instabilité est appelé effort critique de flambement, noté P_c .

L'étude du flambement est due à EULER. La théorie d'EULER est fondée :

- sur une poutre droite, bi-articulée à ses extrémités ;
- soumis à un effort normal de compression centré P (suivant Gx).



Lorsque P croit, à partir de zéro, l'état d'équilibre rectiligne initial évolue vers un état curviligne fléchi.

D'après la loi fondamentale de la flexion on a :

$$\frac{d^2y}{dx^2} = \frac{M}{E.I}$$

$$\text{or } M = -P.y$$

$$\text{donc } EI \cdot \frac{d^2y}{dx^2} + P.y = 0$$

$$\Rightarrow y'' + \frac{P}{EI} \cdot y = 0$$

$$\text{en posant : } \omega = \sqrt{\frac{P}{EI}},$$

$$\text{on obtient : } y'' + \omega^2 \cdot y = 0$$

C'est une équation différentielle du second ordre, dont la solution générale est de la forme :

$$y(x) = A \cdot \cos(\omega x) + B \sin(\omega y)$$

la résolution de cette équation s'opère grâce aux conditions aux limites :

$$\text{- pour } x = 0, \quad y(0) = 0 \quad \Rightarrow A = 0;$$

$$\text{- pour } x = l_0, \quad y(l_0) = 0 \quad \Rightarrow B \cdot \sin \omega l_0 = 0$$

deux cas sont alors possibles :

$$\text{- si } \sin(\omega l_0) \neq 0 \rightarrow B = 0 \text{ et } y(x) = 0, \quad \forall x \quad (\text{pas de flambement dans ce cas});$$

$$\text{- si } \sin(\omega l_0) = 0 \rightarrow \omega \cdot l_0 = k \cdot \pi$$

$$\text{soit } \omega = \frac{k\pi}{l_0} = \sqrt{\frac{P}{EI}} \quad \text{d'où} \quad P = \frac{k^2 \cdot \pi^2 \cdot EI}{l_0^2}$$

pour $k=0 \rightarrow P = 0$: la poutre est rectiligne

pour que la poutre reste fléchi, il faut que k soit au moins égal à 1, ce qui conduit à la valeur minimale de P qui vaut :

$$P = \frac{\pi^2 \cdot EI}{l_0^2}$$

P_c est appelé force critique d'Euler.

3) Contrainte critique d'Euler :

A la force critique d'Euler P_c correspond une contrainte critique : $\sigma_c = \frac{P_c}{A}$

avec A : la section droite de la poutre ;

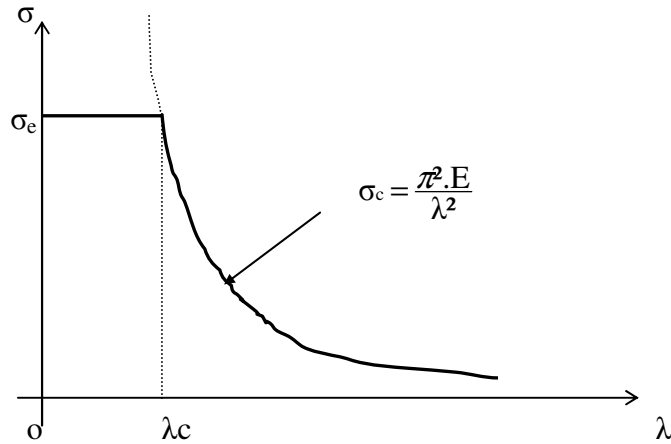
$$\Rightarrow \sigma_c = \frac{\pi^2 \cdot E I}{l_0^2 \cdot A} = \frac{\pi^2 E}{l_0^2} \cdot i^2$$

avec $i = \sqrt{\frac{I_{\min}}{A}}$; rayon de giration minimal, correspond à l'inertie I minimale.

Soit $\lambda = \frac{l_0}{i}$: l'élancement

D'où

$$\sigma_c = \frac{\pi^2 \cdot E}{\lambda^2}$$



lorsque $\sigma_c > \sigma_e$, aucun risque de flambement n'est à craindre (on vérifie la compression simple) ;

lorsque $\sigma_c < \sigma_e$, il y a ruine par flambement dès lors que $\sigma = \sigma_c$.

Remarque : pour $\sigma_c = \sigma_e$ (limite), correspond un élancement critique λ_c

$$\lambda_c = \pi \sqrt{\frac{E}{\sigma_e}}$$

→ la théorie d'Euler n'est applicable que lorsque $\lambda \geq \lambda_c$

quelques valeurs de λ_c :

acier	: $\lambda_c \approx 105$
bois	: $\lambda_c \approx 70$
fonte	: $\lambda_c \approx 60$

4) Poutres autres que bi-articulée :

D'une manière générale, selon les conditions aux appuis, la force critique d'Euler vaut :

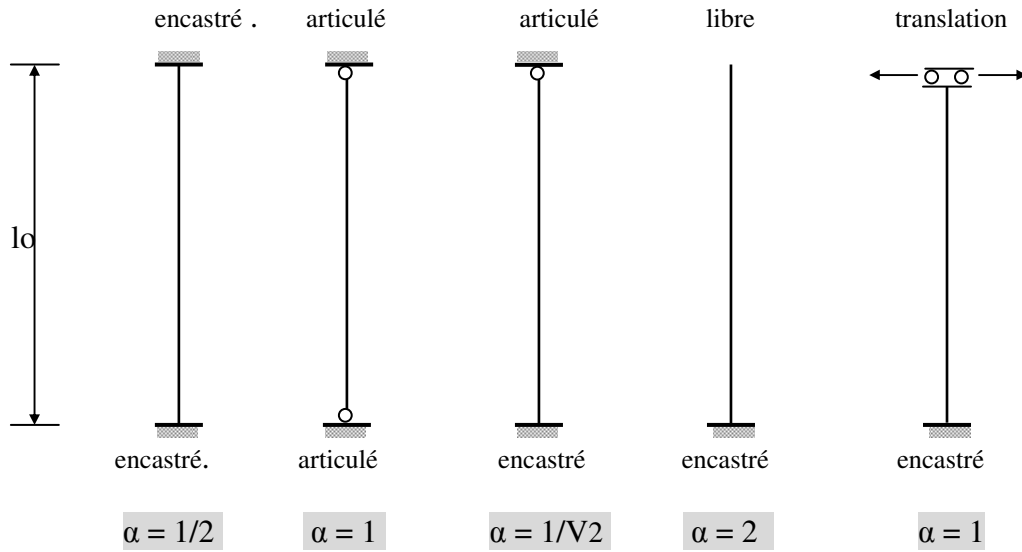
$$P_c = \frac{\pi^2 EI}{(\alpha \cdot l_0)^2}$$

avec l_0 = la longueur réelle de l'élément

soit $l_f = \alpha \cdot l_0$: la longueur de flambement

$$\Rightarrow \boxed{P_c = \frac{\pi^2 EI}{(l_f)^2}}$$

avec α un coefficient qui dépend des conditions aux extrémités (types d'ancrage) :



5) Sécurité vis à vis du flambement :

Causes des imperfections :

- défauts d'homogénéité ;
- défauts de centrage ;
- défauts de rectitudes, ...

Coefficients de sécurité :

$$\sigma \leq \frac{\sigma_c}{2.s} \quad \text{avec} \begin{cases} 2 : \text{superposition de la compression et la flexion ;} \\ s : \text{coefficient de sécurité (} s = \sigma_c / \sigma_p \text{) ;} \end{cases}$$

comme

$$\sigma_c = \frac{\pi^2 \cdot E}{\lambda^2} \Rightarrow \sigma \leq \frac{\pi^2 \cdot E}{2 \cdot \lambda^2 \cdot s}$$

$$\sigma \leq \frac{\pi^2 \cdot E \cdot \sigma_p}{2 \cdot \lambda^2 \cdot \sigma_c} = \underbrace{\frac{\pi^2 \cdot E}{\sigma_c}}_{\lambda_c^2} \cdot \frac{\sigma_p}{2 \lambda^2}$$

$$\text{soit } \beta = 1 / \lambda_c^2 \Rightarrow \boxed{\sigma \leq \frac{\sigma_p}{2 \beta \lambda^2}}$$

6) Théorie de Rankine :

Si $\lambda \nearrow \Rightarrow P_c$: flambement d'Euler ;

Si $\lambda \searrow \Rightarrow N$: compression ;

Pour les valeurs intermédiaires (pièces moyennement courtes) \Rightarrow Le modèle de Rankine

Dans ce cas : $\sigma \leq \frac{\sigma_p}{1 + \beta \lambda^2}$

Résumé :

$\lambda \leq 20$	$20 \leq \lambda \leq \lambda_c$	$\lambda \geq \lambda_c$
\Rightarrow compression simple	\Rightarrow modèle de Rankine	\Rightarrow théorie d'Euler
on vérifie que :	on vérifie que :	on vérifie que :
$\sigma \leq \sigma_p$	$\sigma \leq \frac{\sigma_p}{1 + \beta \lambda^2}$	$\sigma \leq \frac{\sigma_p}{2\beta \lambda^2}$

7) Applications

Exemple 1

Vérifier un poteau constitué par une poutrelle HEB200, hauteur 8.00m, articulé aux deux extrémités. Il est sollicité par un effort pondéré de 44 kN.

Caractéristiques géométriques du profilé :

$$S = 78.1 \text{ cm}^2, I_{\min} = 2003 \text{ cm}^4, E = 2,1 \cdot 10^5 \text{ MPa}, \sigma_e = 240 \text{ MPa} \text{ et } s = 2.5$$

Solution :

- l'élancement du poteau : $\lambda = lf/i_{\min}$
 $= 8 \cdot 10^3 / 5.07 = 159.2$

- l'élancement critique : $\lambda_c = \pi \sqrt{\frac{E}{\sigma_e}} = \pi \sqrt{\frac{2,1 \cdot 10^5}{240}} = 92,93$

On constate que $\lambda > \lambda_c \rightarrow$ Théorie d'Euler

On vérifie que $\sigma \leq \frac{\sigma_c}{2 \cdot s}$

Avec la contrainte critique d'Euler :

$$\sigma_c = \frac{\pi^2 E}{\lambda^2} = \frac{\pi^2 \cdot 2,1 \cdot 10^5}{2,53} = 79,3 \text{ MPa}$$

soit $\sigma = \frac{44 \cdot 10^3}{7810} = 5,63 \leq \frac{79,3}{2 \cdot 2,5} = 15,86 \text{ ok}$

\Rightarrow le poteau est stable vis à vis au flambement.

Exemple 2

Vérifier la stabilité du poteau représenté ci-après :

$$\text{Données : } \left\{ \begin{array}{l} F= 350 \text{ kN, } H= 6.00\text{m} \\ b=150 \text{ mm, } h = 200 \text{ mm et } e=25 \text{ mm} \\ \lambda_c= 80, \sigma_e = 30 \text{ Mpa et } s=2 \text{ (coef. de sécurité)} \end{array} \right.$$

Solution :

- l'élancement du poteau : $\lambda = lf/i_{\min}$

$$\text{avec } \left\{ \begin{array}{l} l_f = 0,707 \cdot 6,00 = 4,24 \text{ m} \\ I_{\min} = \frac{200 \cdot 150^3}{12} - \frac{150 \cdot 100^3}{12} = 43,75 \cdot 10^6 \text{ mm}^4 \\ i_{\min} = \sqrt{\frac{I_{\min}}{A}} = \sqrt{\frac{43,75 \cdot 10^6}{15 \cdot 10^3}} = 54 \text{ mm} \end{array} \right.$$

$$\Rightarrow \lambda = \frac{4,24 \cdot 10^3}{54} = 78,52$$

- l'élancement critique : $\lambda_c = 80$

On constate que $\lambda < \lambda_c \rightarrow$ Théorie de Rankine

On vérifie que $\sigma \leq \frac{\sigma_p}{1+\beta \cdot \lambda^2}$

$$\text{Avec } \left\{ \begin{array}{l} \beta = \frac{1}{\lambda_c^2} = \frac{1}{80^2} \\ \sigma_p = \frac{\sigma_e}{s} = \frac{30}{2} = 15 \text{ MPa} \end{array} \right.$$

$$\text{soit } \sigma = \frac{350 \cdot 10^3}{15000} = 23,33 \geq \frac{15}{1 + \left(\frac{78,52}{80}\right)^2} = 7,64 \text{ MPa}$$

\Rightarrow le poteau est instable vis à vis au flambement.

